

альнейших
кривой II
пределяются
а именно
переходов
ции. В за-
процессами,
ом случае
творов от
для более
ивном ве-

УДК 539.194+535.9 4-12

СВЕРХТОНКАЯ СТРУКТУРА МИКРОВОЛНОВОГО СПЕКТРА ПИРАЗОЛА И ТЕНЗОРЫ КВАДРУПОЛЬНОЙ СВЯЗИ ЯДЕР АЗОТА

Н. М. Поздеев, Р. С. Насибуллин, Р. Г. Латыпова, В. Г. Винокуров и
Н. Д. Коневская

Приводятся результаты исследования микроволнового спектра пиразола для двух типов молекул различного изотопного состава: $C_3^{12}H_4N_2^{14}$, $4-DC_3H_3N_2^{14}$. Определены вращательные постоянные молекул: $A=9618.768$, $B=9412.523$, $C=4755.864$ Мгц и $A=9566.120$, $B=8647.795$, $C=4532.329$ Мгц соответственно; константы квадрупольной связи (в Мгц) $\chi_{aa}=1.38$, $\chi_{bb}=1.57$, $\chi_{cc}=-2.95$, $\chi_{ab}=-0.634$ и $\chi_{a01}=-3.94$, $\chi_{bb}=3.16$, $\chi_{cc}=0.78$, $\chi_{ab}=-2.17$ для ядер азота в первом и втором положениях молекулы $C_3^{12}H_4N_2^{14}$ соответственно.

Сверхтонкая структура микроволнового спектра пиразола обусловлена связью квадрупольных моментов ядер азота с моментом вращения всей молекулы. Константы квадрупольной связи, определяемые из сверхтонкой структуры микроволнового спектра, пропорциональны компонентам тензора градиента поля электронного облака в точках расположения квадрупольных ядер. Поэтому значения констант квадрупольной связи очень чувствительны к электронной структуре молекулы и могут служить строгим критерием адекватности того или иного приближения электронной структуры.

Выяснению электронной структуры молекулы пиразола уделял внимание ряд авторов [1-4]. Кирхгофф [4] исследовал микроволновой спектр пиразола $C_3^{12}H_4N_2^{14}$, но, к сожалению, в его работе не содержатся сведения о квадрупольной связи.

Мы обратили внимание, что в микроволновом спектре пиразола Q -переходы с высоким значением J имеют видимую картину сверхтонкого расщепления (рис. 1), аналогичную случаю молекулы с одним квадрупольным ядром. Это приближение было использовано для предварительного определения констант квадрупольного взаимодействия одного из ядер азота пиразола. Были получены такие результаты: $\chi_{aa}=-4.36$, $\chi_{bb}=2.62$,

Таблица 1
Постоянные квадрупольной связи пиразола (в Мгц)

постоян- ные ква- друполь- ной связи	Системы главных осей инерции				Системы главных градиентов поля				
	$C_3^{12}H_4N_2^{14}$		$4-DC_3H_3N_2^{14}$		постоян- ные ква- друполь- ные связи	данные насто- ящей работы		данные по МО ЛКАО [10]	
	1 - N	2 - N	1 - N	2 - N		1 - N	2 - N	1 - N	2 - N
χ_{aa}	1.38	-3.94	0.90	-4.20	χ_a	0.84	-4.55	1.883	-6.332
χ_{bb}	1.57	3.16	2.05	3.42	χ_b	2.11	3.77	3.045	5.026
χ_{cc}	-2.95	0.78	-2.95	0.78	χ_c	-2.95	0.78	-4.928	1.305
χ_{ab}	0.634	2.17	-	-					

$\chi_{ec} = 1.74$ МГц. Сопоставление этих данных со значениями констант пиридина [5] ($\chi_{aa} = -4.88$, $\chi_{bb} = 1.43$, $\chi_{cc} = 3.45$ МГц) и пиррола [6] ($\chi_{aa} = 1.45$, $\chi_{bb} = 1.21$, $\chi_{cc} = -2.66$ МГц) свидетельствует о том, что наблюдаемое расщепление

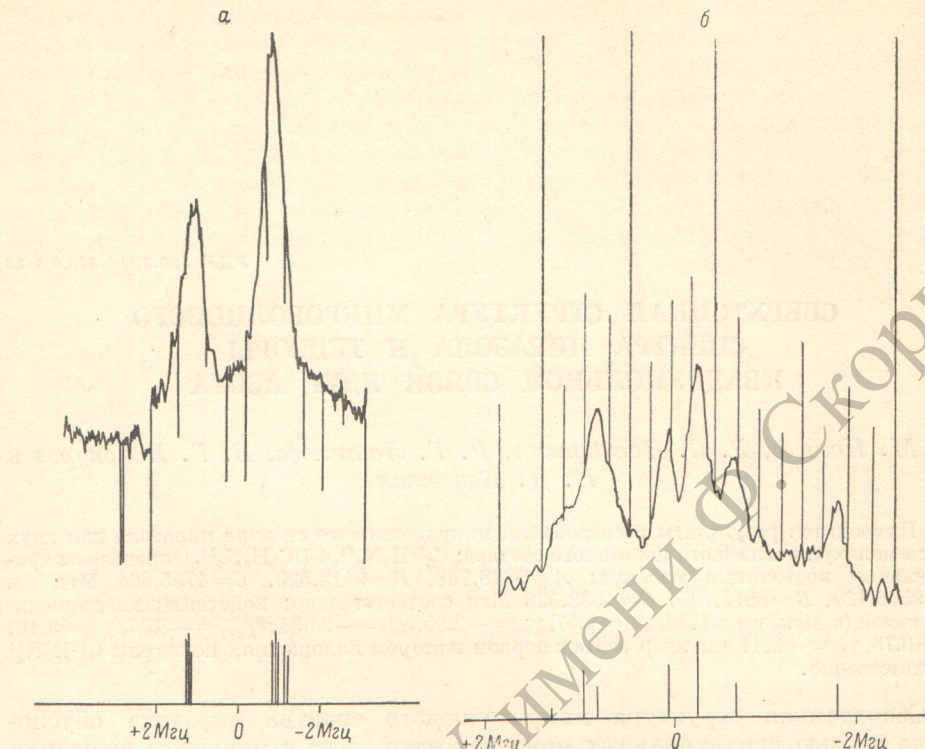


Рис. 1.

а — экспериментальная и рассчитанная структура перехода $8_{11} - 8_{80}$ пиразола $C_3^{12}H_4N_2^{14}$. Метки частоты следуют через 0.5 МГц, б — экспериментальная и рассчитанная структура перехода $0_{00} - 1_{11}$ пиразола $4\text{-DC}_3^{12}H_3N_2^{14}$. Метки частоты следуют через 0.25 МГц.

пление Q -переходов с высокими J обусловлено ядром азота во втором положении (рис. 2).

В качестве исходного приближения квадрупольной связи ядра азота в первом положении были использованы константы пиррола. Для уточнения констант квадрупольного взаимодействия обоих ядер азота пиразола было использовано сверхтонкое расщепление переходов $0_{00} - 1_{01}$, $0_{00} - 1_{11}$ (рис. 1). Сверхтонкая структура этих переходов зависит только от компонент квадрупольной связи относительно A и B осей соответственно.

По теории Бардина и Таунса [7] был произведен расчет сверхтонкой структуры переходов $0_{00} - 1_{01}$, $0_{00} - 1_{11}$ с варьированием констант квадрупольного взаимодействия до достижения совпадения рассчитанной и наблюданной картины расщепления. Найденные таким образом константы χ_{aa} , χ_{bb} , χ_{cc} приведены в табл. 1. Они были использованы затем для вычисления сверхтонкой структуры переходов с $J \leq 3$ и для контроля Q -переходов с высоким J . Сопоставление результатов этих вычислений с наблюданной картиной переходов позволило определить частоты переходов гипотетической молекулы пиразола $C_3^{12}H_4N_2^{14}$, не имеющей квадрупольного взаимодействия. По этим частотам

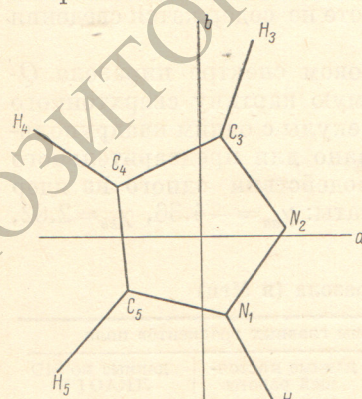


Рис. 2. Молекула пиразола $C_3^{12}H_4N_2^{14}$.

результатов этих вычислений с наблюданной картиной переходов позволило определить частоты переходов гипотетической молекулы пиразола $C_3^{12}H_4N_2^{14}$, не имеющей квадрупольного взаимодействия. По этим частотам

т пири-
= 1.45,
расще-

Таблица 2
Микроволновые спектры молекул пиразола $C_3^{12}H_4N_2^{14}$ и 4-DC $_3^{12}H_3N_2^{14}$.
Частоты переходов даны в МГц

Переходы	$C_3^{12}H_4N_2^{14}$			4-DC $_3^{12}H_3N_2^{14}$			
	эксперимен- тальная частота	невозмущен- ная частота*	вычисленная частота	эксперимен- тальная частота	невозмущен- ная частота	вычисленная частота	
$0_{00}-1_{01}$	14167.10 14167.24 14168.50 14168.85 14170.42	14168.41	14168.39	13149.40 13150.37 13152.20	13150.13	13150.12	
$0_{00}-1_{11}$	14372.92 14374.11 14374.38 14374.67 14375.48	14374.61	14374.63	14096.68 14097.95 14098.31 14098.62 14099.52	14098.58	14098.45	
$2_{12}-2_{11}$	13968.34 13969.16 13969.70 13970.56 13971.00 13971.33	13970.07	13969.98	12256.50	12256.47	12256.40	
$2_{02}-2_{21}$	14593.47 14594.00 14594.55 14595.43 14596.88	14595.48	14595.41	15247.01 15248.04	15248.07	15248.12	
$2_{12}-2_{21}$	14586.84 14587.27 14587.87 14588.75 14589.95	14588.78	14588.71				
Метки перехода	$2_{02}-2_{11}$	13975.10 13975.84 13976.56 13977.15 13977.60 13978.01	13976.66	13976.68	12403.57	12403.10	12403.14
ПОЛО-							
азота	$3_{22}-3_{21}$	13664.20 13665.43	13664.85	13664.87			
точне-	$3_{12}-3_{21}$	13697.68	13698.24	13698.32			
модей-							
по ис-	$3_{22}-3_{31}$	13698.01 13698.80	14901.25 14901.95 14902.82 14903.30	14902.10	14902.20		
пере-							
онкая	$3_{12}-3_{31}$	14934.86 14935.50 14936.45 14936.90	14935.65	14935.66			
эко от							
ельно							
был	$1_{01}-2_{02}$			23016.26 23016.77	23016.51	23016.36	
структуры	$1_{01}-2_{12}$			23162.75 23163.60	23163.06	23163.11	
анием	$1_{11}-2_{02}$			22068.49 22069.19	22068.05	22068.04	
ия до				22214.72	22214.60 0.1	22214.78	
и на-			0.06				
айден-							
, χ_{co}							
льзоз-							
ронкой							
троля							
ре-							
лило							
азола							
тотам							

* Невозмущенная частота перехода соответствует гипотетической молекуле пиразола, не имеющей квадрупольных моментов ядер азота.

методом наименьших квадратов были найдены вращательные постоянные молекулы. Результаты даны в табл. 2 и 3. Как видно из табл. 2, спектр гипотетического пиразола довольно хорошо описывается приближением жесткого волчка.

При исследовании спектра дейтерированного препарата пиразола были идентифицированы переходы молекулы $4\text{DC}_3^{12}\text{H}_3\text{N}_2^{14}$. Для этой молекулы по измеренным переходам также были найдены константы квадрупольного взаимодействия и рассчитана сверхтонкая структура ряда переходов с низкими J . Как и в предыдущем случае, по найденным частотам гипотетической молекулы методом наименьших квадратов были определены вращательные постоянные (табл. 2, 3).

Таблица 3
Вращательные постоянные A , B , C
(в МГц); параметр асимметрии χ ;
моменты инерции I_A , I_B , I_C и дефект
моментов инерции Δ в а. е. м. Å²
молекул пиразола: $\text{C}_3^{12}\text{H}_4\text{N}_2^{14}$
и $4\text{DC}_3^{12}\text{H}_3\text{N}_2^{14}$ (переводочный множитель
505 531)

Параметры молекул	$\text{C}_3^{12}\text{H}_4\text{N}_2^{14}$	$4\text{DC}_3^{12}\text{H}_3\text{N}_2^{14}$
A	9618.768	9566.120
B	9412.523	8617.795
C	4755.864	4532.329
χ	+0.91517611	+0.62321619
I_A	52.55672	52.84598
I_B	53.70834	58.66129
I_C	106.29635	111.53890
Δ	0.03129	0.03163

В табл. 1 приведены также результаты расчета констант квадрупольного взаимодействия, выполненные методом МО ЛКАО [10]. Очевидно, что использованное в этом расчете приближение электронной структуры молекулы пиразола значительно отличается от истинной.

Литература

- [1] H. W. Ehrlich. Acta Cryst., 13, 946, 1960.
- [2] J. Z. Tinag, E. F. Mooney. Spectrochim. Acta, 20, 1269, 1964.
- [3] V. Lorenzelli, G. Randi. Atti Accad. Naz. Lincei, Rend. Classe Sci. Fis. Mat. Nat., 36, 646, 1964.
- [4] W. H. Kirchhoff. J. Am. Chem. Soc., 89, 1312, 1967.
- [5] G. O. Sorenson. J. Molec. Spectr., 22, 325, 1967.
- [6] L. Nygaard, J. T. Nielsen, J. Kirchheimer, G. Maltersen, J. Rastrup-Andersen, G. O. Sorenson. J. Molec. Structure, 3, 491, 1969.
- [7] J. Bardeen, C. H. Townes. Phys. Rev., 73, 97, 1948.
- [8] J. Kraitchman. Am. J. Phys., 21, 17, 1953.
- [9] J. E. Wollrab. Rotational Spectra and Molecular Structure. N. Y.—London, Acad. Press., 1967.
- [10] K. Kochansky, J. M. Lehn, B. Levy. Chem. Phys. Lett., 4, 2, 1969.

Поступило в Редакцию 17 июля 1970 г.

Мета-
мость T_1
диенил-
с анизол-
ных ассо-
возможн

На
решето-
что в ко-
ких тем-
группы
особенн
не мож
к «увяд
за счет
поля н
Чтобы
в реше-
методом
ной реа-
золом,
компле-
скопич-
молеку-
в неко-
ность
компле-

выполн
Как
компле-
можен
зависит
имеютс
показа-
ний, вы

Най-
лекуля-
объясни-
щатель